

УДК 523.64

## Новый статистический подход к изучению падения блеска комет

А. С. Гулиев, А. Ш. Байрамов

Исследована зависимость абсолютного блеска 36 периодических комет семейства Юпитера от условий видимости I рода. У 23 комет наблюдается заметная зависимость  $H_{10}$  от этого фактора. Исследован вопрос о падении блеска комет с учетом изменения условий видимости от появления к появлению. Установлено, что в семействе Юпитера существуют две группы короткопериодических комет: в первой — скорость падения блеска возрастает по мере увеличения  $q$ , во второй — уменьшается.

*NEW STATISTICAL APPROACH TO THE PROBLEM OF COMETARY BRIGHTNESS FADING, by Guliev A. S., Bajramov A. Sh.*—The dependence of absolute brightness of 36 periodic comets of Jupiter family on the visibility conditions is investigated. 23 comets are observed to have a noticeable dependence of  $H_{10}$  on these conditions. The problem of brightness fading is studied with allowance for changing visibility conditions from apparition to apparition. Two groups of comets in Jupiter family have been found: the first group is characterized by an increase of brightness fading with  $q$ ; the second one shows the inverse run.

В 1920-х годах С. К. Всехсвятский, изучая фотометрические данные о комете Энке за большой промежуток времени, собранные Голечком, обратил внимание на то, что абсолютный блеск этого объекта от появления к появлению имеет тенденцию к уменьшению [1]. Отсюда он сделал вывод о постепенном истощении комет, что приводит к предположению о космогонической молодости этих небесных тел. Предположение о вековом уменьшении блеска комет было признано не сразу. История дискуссии по этому вопросу подробно описана в [2]. В настоящее время этот факт признается практически всеми специалистами по физике комет. Дискутируются лишь масштабы этого явления.

Статистические аспекты проблемы падения блеска комет широко рассматривались в работах [4, 6, 8, 9]. В них получены средние значения падения блеска  $\Delta H_{10}^p$  для отдельных короткопериодических комет, которые в дальнейшем сопоставлялись с разными физическими и динамическими параметрами. В частности, в [4] установлено, что  $\Delta H_{10}^p$  заметно зависит от перигелийного расстояния  $q$ , периода обращения кометы  $P$  и ее абсолютного блеска в начальный период  $H_{10}^0$ . Падение абсолютного блеска описывается обычно линейным уравнением регрессии

$$H_{10}(t) = H_{10}^0 + \alpha t, \quad (1)$$

где  $t$  — время в годах. Определив  $\alpha$ , можно рассчитать искомую величину  $\Delta H_{10}^p = \alpha P$ . В работе [8] в правую часть этого уравнения введен еще один член, характеризующий изменение  $\Delta H_{10}^p$ . Однако иллюстрации, приведенные в [9], убеждают, что линейное уравнение в первом приближении неплохо описывает изменение  $H_{10}$ .

В работе [5] на примере кометы Копфа показано, что изменение  $H_{10}$  помимо временного фактора сильно зависит от условий видимости кометы. В зависимости от изменения последних абсолютный блеск этой кометы изменяется в широком диапазоне. Цель настоящей работы — изучение влияния условий видимости \* на  $H_{10}$  и на характер векового падения блеска короткопериодических комет.

Как показатель условий видимости использован угол  $\Psi$ , аналогичный функции Голечека. В случае  $q > 1$  а. е. имеем  $\Psi = L_{\odot} - \lambda_{\pi}$ , где  $L_{\odot}$  — эллиптическая долгота Солнца в момент прохождения кометы через перигелий;  $\lambda_{\pi}$  — долгота перигелия кометы.

\* Имеются в виду так называемые условия видимости I рода, связанные с элементами орбиты кометы и временем прохождения ею перигелия.

В случае  $q < 1$  а. е. угол  $\Psi$  находится следующим образом:

$$\Psi = \arcsin \frac{q \sin (L_{\odot} - \lambda_{\pi})}{\sqrt{1 + q^2 - 2q \cos (180^{\circ} - L_{\odot} + \lambda_{\pi})}}$$

Как и в работе [4], наше внимание было обращено прежде всего к кометному семейству Юпитера. Статистика охватывает 36 комет этого семейства, наблюдавшихся не менее четырех раз. Сопоставление параметров  $\Psi$  и  $H_{10}$  позволило выявить следующую картину: у 13 комет между этими величинами наблюдается заметная корреляционная зависимость. Следовательно, у этих объектов истинное значение параметра  $\Delta H_{10}^p$  будет несколько иным, чем то, которое дает уравнение (1). Наиболее характерные зависимости  $H_{10}(\Psi)$  показаны на рис. 1. Установлено также, что у десяти комет в изменении  $\Psi$  от появления к появлению наблюдается определенная закономерность. У этих комет падение блеска либо маскируется улучшением условий видимости, либо падение  $H_{10}$  сопровождается еще и ухудшением условий наблюдения кометы, в результате чего наблюдается катастрофическое падение абсолютного блеска. Значения коэффициентов корреляции  $r(\Psi, H_{10})$  и  $r(\Psi, t)$  даны в таблице. Там же приведены значения  $r(H_{10}, t)$ , которые будут использованы в дальнейших расчетах, и результаты.

Таким образом, у 23 комет наблюдаемые  $H_{10}$  искажены эффектами селекции, и их зависимость от условий видимости I рода можно легко объяснить. Действительно, кометы наблюдаются в основном вблизи перигелия орбиты. Поэтому если величина  $\Psi$  приближается к  $180^{\circ}$ , то комета наблюдается в оппозиции от Солнца, и влияние фона неба на оценку ее блеска при прочих равных условиях будет наименьшим. Если же  $\Psi$  имеет небольшое значение, то комета наблюдается только

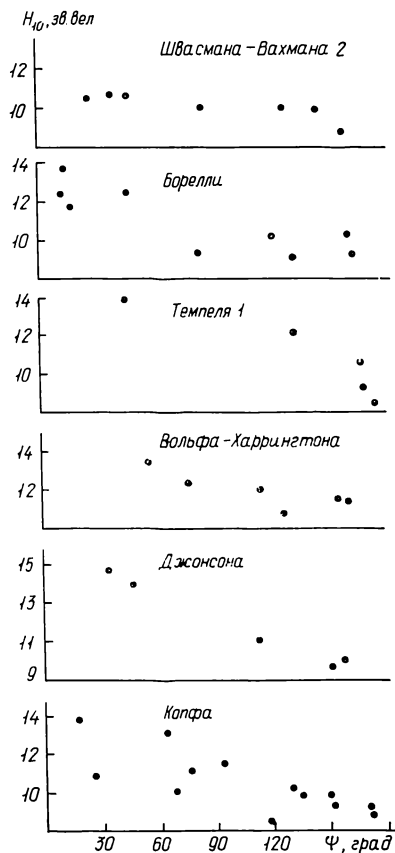


Рис. 1. Зависимость  $H_{10}$  от  $\Psi$  для некоторых комет семейства Юпитера

на вечернем или утреннем небе. В этот период значение  $\sec z$  ( $z$  — зенитное расстояние), от которого зависит визуальный блеск кометы, оказывается минимальным, что приводит к заниженной оценке видимого блеска. Это связано с тем, что интенсивность коротковолновой части спектра кометы явно уменьшается, когда она находится низко над горизонтом, а также с усиленным фоном неба, скрадывающим внешнюю область кометы.

Итак, возникает необходимость исследования падения абсолютного блеска кометы с учетом влияния изменчивости условий ее видимости. В дальнейшем, используя механизм множественной корреляции, вместо (1) будем пользоваться следующим уравнением:

$$H_{10}(t, \Psi) = H + At + B\Psi. \tag{2}$$

Коэффициенты этого уравнения определены методом наименьших квадратов. Полученные значения параметров  $\Delta H_{10}^p(t) = \alpha P$  и  $\Delta H_{10}^p(t, \Psi) = AP$  приведены в таблице. Как и следовало ожидать, в ряде случаев они сильно расходятся. Чтобы количественно сравнить эти величины, использован следующий способ. Для систем уравнений (1) и (2) вычислены суммы квадратов невязок между наблюдаемыми и теоретическими зна-

Результаты статистического анализа параметра  $H_{10}$  короткопериодических комет семейства Юпитера

Комета	$r(H_{10}, \Psi)$	$r(H_{10}, t)$	$r(t, \Psi)$	A	B	$\alpha$	$\Delta H_{10}^2(t)$	$\Delta H_{10}^2(t, \Psi)$	$e_1$	$e_2$	n	N
Энке	0.23	0.82	-0.00	0.018	0.017	0.021	0.07	0.06	30.2	25.7	52	1
Бизлы	-0.10	0.74	-0.27	0.009	0.009	0.009	0.06	0.06	0.2	0.2	6	1
Понса — Винке	-0.48	0.87	-0.49	0.045	0.003	0.046	0.26	0.25	23.7	22.8	18	1
Брозена	-0.67	0.97	-0.52	0.063	-0.071	0.071	0.39	0.35	2.0	0.1	5	2
Темпеля — Свифта	-0.19	0.66	-0.79	0.082	0.061	0.040	0.22	0.45	1.7	0.8	4	2
Д'Арре	0.19	0.60	0.24	0.016	0.002	0.017	0.11	0.11	11.1	11.5	13	1
Темпеля 2	-0.70	0.80	-0.40	0.025	-0.012	0.033	0.17	0.13	10.3	11.6	16	1
Копфа	-0.77	0.75	-0.30	0.044	-0.020	0.056	0.36	0.28	12.0	3.4	11	1
Швасмана — Вахмана 2	-0.68	1.00	-0.31	0.037	-0.009	0.046	0.30	0.29	2.0	1.3	8	1
Григга — Шеллерупа	-0.50	0.83	-0.53	0.078	0.004	0.058	0.29	0.39	11.2	8.4	13	2
Даниэля	-0.66	0.48	-0.90	0.021	0.016	-0.016	-0.11	0.14	12.8	29.8	6	2
Джакобини — Циннера	-0.50	0.91	-0.39	0.006	-0.007	0.018	0.12	0.11	6.2	5.8	10	1
Брукса 2	-0.58	0.92	-0.31	0.061	-0.022	0.070	0.49	0.43	9.5	4.0	12	1
Фая	-0.19	0.92	-0.12	0.048	-0.044	0.049	0.36	0.36	16.7	13.5	17	1
Борелли	-0.83	0.85	-0.91	0.038	-0.009	0.058	0.40	0.26	9.7	6.5	9	2
Уинпла	-0.50	0.84	-0.19	0.069	-0.009	0.066	0.49	0.51	3.7	2.4	7	1
Шомасса	-0.50	0.37	-0.62	0.041	-0.017	0.017	0.14	0.33	3.7	2.1	7	1
Комас-Солла	-0.26	0.30	-0.15	0.023	0.018	0.012	0.10	0.20	4.3	3.7	6	2
Вольфа	-0.44	0.95	-0.33	0.085	-0.008	0.090	0.68	0.65	8.1	6.9	12	1
Хонда — Мркоса — Пайдушаковой	-0.56	0.50	-0.23	0.073	-0.064	0.069	0.36	0.28	10.4	3.9	6	2
Темпеля 1	-0.91	0.95	-0.87	0.027	-0.014	0.041	0.24	0.16	2.2	1.5	5	2
Туттля — Джакобини — Кресака	-0.43	0.86	-0.41	0.019	-0.003	0.020	0.11	0.10	1.9	1.6	6	1
Виртанена	0.08	0.55	-0.46	-0.001	-0.002	-0.037	-0.25	-0.01	1.1	0.1	4	2
Форбса	0.53	0.66	-0.30	0.042	-0.018	0.042	0.27	0.27	7.3	4.8	6	1
Вольфа — Харрингтона	-0.70	0.17	-0.34	-0.001	-0.034	0.000	0.00	0.00	4.7	1.2	6	2
Перрайна — Мркоса	-0.24	0.48	-0.53	0.045	0.020	0.038	0.25	0.29	29.6	29.4	5	2
Рейнмуга 2	-0.28	0.04	-0.21	0.000	-0.006	0.001	0.01	0.00	6.7	6.2	5	2
Джонсона	-0.99	0.96	-0.94	0.055	-0.031	0.182	0.38	0.38	2.0	0.4	5	2
Аренда — Риго	-0.57	-0.02	-0.16	0.000	-0.006	0.000	0.00	0.00	1.5	0.6	5	2
Финлея	-0.17	0.88	-0.26	0.052	0.004	0.049	0.33	0.34	4.7	5.5	9	2
Холмса	-0.22	0.91	-0.09	0.065	-0.009	0.061	0.44	0.47	8.1	6.5	6	1
Ашбрука — Джексона	-0.92	0.27	-0.08	0.025	-0.017	0.027	0.20	0.19*	7.5	1.1	5	2
Харрингтона — Эйбелла	0.21	0.30	-0.81	0.000	0.025	0.023	0.16	0.00	1.2	0.4	4	2
Рейнмуга 1	-0.51	0.82	-0.31	0.052	-0.006	0.058	0.44	0.39	3.7	5.2	7	1
Аренда	0.18	-0.24	-0.58	0.000	-0.027	0.156	0.00	0.00	4.4	4.5	4	2
Швасмана — Вахмана 1	-0.56	0.84	-0.18	0.064	-0.011	0.074	1.21	1.05	2.4	0.6	4	1

Примечание. Еслие тсчсе значеке  $\Delta H_{10}^2(t, \Psi)$  кометы Ашбука — Джексона найдено в [3]. Оно составляет 0.1<sup>м</sup>. Величина N равна 1 и 2, что соответствует первой (рис. 2, верхняя часть) и второй (рис. 2, нижняя) группам комет.

чениями  $H_{10}$ :

$$\varepsilon_1 = \sum [H_{10} - H_{10}(t)]^2, \quad \varepsilon_2 = \sum [H_{10} - H_{10}(t, \Psi)]^2.$$

Если  $\varepsilon_1 > \varepsilon_2$ , то использование уравнения (2) можно считать оправданным. В подавляющем большинстве случаев (см. таблицу) это условие выполняется.

Следует отметить также одну практическую сторону нашей работы. Поскольку падение блеска комет происходит с большими амплитудами, то возникает определенная трудность при прогнозировании значений  $H_{10}$  для очередных возвращений комет. В этом случае при  $\varepsilon_1 > \varepsilon_2$  обязательно нужно учесть условия их видимости. Данные из таблицы могут быть основой для такого прогнозирования. Именно эта мысль лежит и в основе работы [5].

Таким образом, возникает необходимость повторения статистики величин  $H_{10}$  и исследования падения блеска короткопериодических комет уже на базе параметра

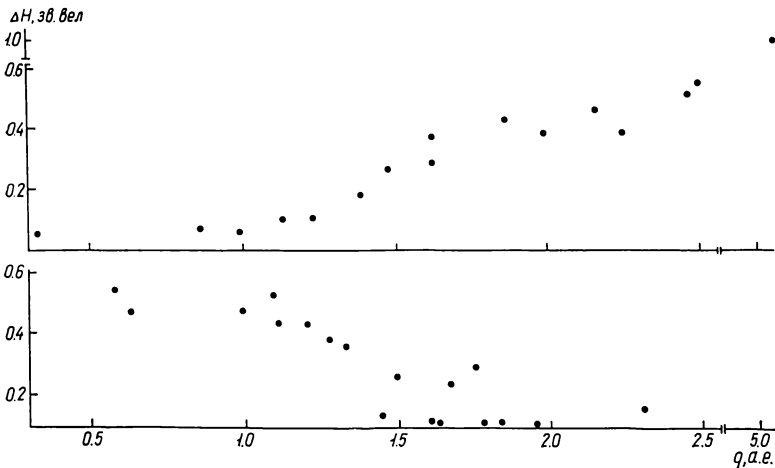


Рис. 2. Распределение  $\Delta H_{10}^p(t, \Psi)$  по  $q$  для двух групп комет

$\Delta H_{10}^p(t, \Psi)$ , чтобы проверить справедливость предположений и выводов, сделанных в работах [4, 6, 7]. Наибольший интерес представляет предположение о существовании двух кометных групп [6, 7]. Эта идея (если она подтвердится новыми данными) представляет интерес не только для проблем физики и эволюции комет, но и для проблемы происхождения периодических комет. Сопоставление параметров  $\Delta H_{10}^p(t, \Psi)$  и  $q$  (перигелийное расстояние кометы) подтвердило основополагающую идею работы [6]. Однако следует отметить, что и характер обнаруженных нами кривых, и состав соответствующих групп (номер группы  $N$  указан в последней графе таблицы) отличаются от полученных в [6]. На рис. 2 представлена зависимость  $\Delta H_{10}^p$  от  $q$  для обеих групп. При построении этого графика использованы средние статистические величины  $q = \sum_{i=1}^n q_i$ , где  $n$  — число наблюдавшихся появлений кометы. Первое распределение (сверху) характерно тем, что по мере увеличения  $q$  увеличивается и  $\Delta H_{10}^p$ . Эта зависимость интерпретируется в [6]. Краткий смысл ее: процесс падения блеска у этих комет обусловлен «деактивацией» их ядер в результате постепенного покрытия поверхности ядра минеральной коркой. Данная группа состоит из 16 комет. Большой интерес вызывает и вторая группа из 18 комет, где зависимость  $\Delta H_{10}^p$  от  $q$  имеет совершенно противоположный характер. Здесь увеличение  $q$  приводит к убыванию скорости падения блеска, что, по-видимому, соответствует ледяным кометным ядрам. Можно полагать, что в ядрах этих комет содержится незначительное количество пыли и минеральных примесей, способных влиять на эволюцию ядра. Следовательно, можно считать, что существование чисто ледяных ядер вовсе не исключается, и в семействе Юпитера их должно быть значительное количество. Процесс потери блеска у этих комет обусловлен потерей массы в результате воздействия фотонного и корпускулярного излучения Солнца и уменьшением размеров их ядер. Причины существования в одном семействе двух групп, их

отличительные особенности и возможность перехода комет из одной группы в другую будут рассмотрены в отдельной работе. Из 36 рассмотренных комет лишь две (Понса — Виннеке и Швасмана — Вахмана 2) занимают промежуточное положение. Однако включение их в ту или другую группу не может исказить характер зависимости  $\Delta H_{10}^p(q)$ . Существование таких «промежуточных» комет связано, вероятно, с особенностями эволюции их ядер. В прошлом эти кометы находились, по-видимому, во второй группе (рис. 2, нижняя кривая).

Таким же путем исследовано падение блеска еще пяти комет других семейств: Вайсяля 2 ( $\Delta H_{10}^p(t, \Psi) = 0.06^m$ ), Тутля ( $\Delta H_{10}^p(t, \Psi) = 0.17^m$ ), Неуймина 1 ( $\Delta H_{10}^p(t, \Psi) = 0.09^m$ ), Кроммелина ( $\Delta H_{10}^p(t, \Psi) = 0.19^m$ ) и Галлея ( $\Delta H_{10}^p(t, \Psi) = 0.29^m$ ). Включение этих комет не искажает общую картину, хотя, по нашему убеждению, они могут не подчиняться закономерностям, присущим семейству Юпитера.

В заключение отметим, что настоящая работа — лишь первая попытка комплексного исследования влияния условий видимости на падение блеска комет. Она показала правильность постановки задачи. Однако необходим более широкий подход к рассматриваемой проблеме. В дальнейшем имеет смысл искать более сложную зависимость  $H_{10}(\Psi)$ ,  $H_{10}(t)$ ,  $\Psi(t)$ , чем линейная. Например, в случае кометы Ашбрука — Джексона [3] это было полностью обосновано. Кроме того, нужно учитывать, что кометы не всегда наблюдаются в интервале времени, центр которого совпадает с моментом прохождения через перигелий. Нами это обстоятельство учтено лишь в некоторых случаях.

1. *Всехсвятский С. К.* Яркость кометы Энке // *Астрон. журн.*— 1927.— 4, вып. 4.— С. 298—301.
2. *Всехсвятский С. К.* Физические характеристики комет.— М.: Физматгиз, 1958.— 575 с.
3. *Гулиев А. С., Байрамов А. Ш.* Об изменении абсолютной яркости кометы Ашбрука — Джексона в период 1948—1978 гг. // *Комет. циркуляр.*— 1986.— № 351.— С. 3—4.
4. *Гулиев А. С., Деменко А. А., Деменко И. М.* Особенности падения блеска комет семейства Юпитера // *Пробл. космич. физики.*— 1983.— Вып. 18.— С. 85—87.
5. *Добровольский О. В.* Прогноз абсолютного блеска комет Копфа (1982к) и Галлея (1982i) // *Комет. циркуляр.*— 1983.— № 303.— С. 2—3.
6. *Добровольский О. В., Ибадинов Х. И., Герасименко С. И.* Вековое падение блеска и строение ядер периодических комет // *Докл. АН ТаджССР.*— 1984.— 27, № 4.— С. 198—200.
7. *Шульман Л. М.* Динамика кометных атмосфер. Нейтральный газ.— Киев: Наук. думка, 1972.— 243 с.
8. *Sekanina Z.* Secular variations in the absolute brightness of short-period comets // *Bull. Astron. Inst. Czech.*— 1964.— 15, N 1.— P. 1—7.
9. *Svoren J.* Secular variation in the absolute brightness of short-period comets // *Contrib. Astron. Observ. Skalnaté Pleso.*— 1979.— N 8.— P. 105—140.

Шемахин. астрофиз. обсерватория  
АН АзССР

Поступила в редакцию 22.12.86,  
после доработки 30.04.87